

This map was compiled from data acquired in the Stewart River Area, Yukon during the second phase of an airborne geophysical survey (gamma ray spectrometry, magnetometer) carried out by Fugro under contract to the Geological Survey of Canada. Funding for the survey was provided by Natural Resources Canada's Targeted Geoscience Initiative. The Phase 2 survey was completed between July 18, 2001 and September 26, 2001, using an Aerospatiale AS350B2 helicopter (registration C-GZTA).

Flight paths were recovered using a post-flight differential Global Positioning System. A vertically mounted video camera was used for verification of the flight path. The average traverse line spacing was 500 m with control lines flown at 1.5 km intervals. Helicopter flight height was maintained at an average ground clearance of 119 m.

The gamma ray spectrometry data were recorded at a 1.0 second sample rate into 256 channel main and radon spectra using an Elextron GM200 spectrometry system. The volume of NaI in the two detectors comprising the system were: main detector, 31.4; radon detector, 8.4. Counts from the main detector were recorded in five windows corresponding to thorium (214D - 2610 keV), uranium (235U - 2840 keV), potassium (40K - 2013 keV) and cosmic radiation (3000 to >4000 keV). Counts from the radon detector were recorded in the radon window (1640 - 1860 keV). The radon detection system was calibrated following methods outlined in AGSO 1995(6). After removal of the background, the data were corrected for spectral interferences, changes in temperature, pressure and departure from the 119 m planned survey elevation. The data were then converted to standard concentration units and ratios and then interpolated to a 125 m square grid. The ternary image grid was created from the three concentration grids.

The aeromagnetic data were recorded at a 0.1 second sample rate using a 0.01 nT sensitivity split-beam cesium vapour magnetometer suspended 23 m below the helicopter. The control line and traverse line magnetic data were corrected for variations in the magnetic field using the ground station magnetometer data. After editing the survey data, the intersections of traverse and control lines were established and the differences in the magnetic values were computed and used to obtain the levelling network. Global Positioning System data were used to compute the International Geomagnetic Reference Field data circa 2001, which was subtracted from the total magnetic field data to produce the residual magnetic field. The resulting residual magnetic field values were interpolated to a 125 m square grid. The first vertical derivative of the magnetic field was computed from the grid of the residual magnetic field.

All grid-based data are presented as colour interval maps combined with digital topographic files provided by Geomatics Canada.

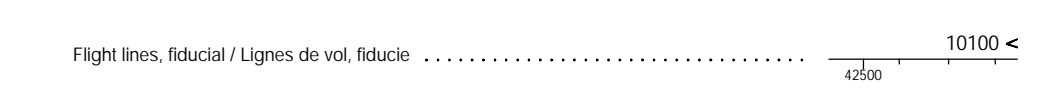
Cette carte a été compilée des données obtenues dans le région de Stewart River, Yukon, pendant la deuxième phase d'un levé géophysique aéroporté (spectrométrie des rayons gamma et aéromagnétique) effectué par Fugro sous un contrat à la Commission géologique du Canada. Le subvention pour ce levé a été fournie par l'Initiative géoscientifique ciblée (IGCI) de Ressources Naturelles Canada. La deuxième phase opérationnelle a été effectuée du 18 juillet au 26 septembre, 2001, en utilisant un hélicoptère Aerospatiale AS350B2 (immatriculé C-GZTA).

Le recouvrement des lignes de vol a été fait à l'aide de mesures de système de positionnement global corrigées en mode différentiel après vol. Une caméra vidéo montée verticalement a été utilisée pour la vérification du plan de vol. L'espacement moyen des lignes de vol était de 500 m, recoupées par des lignes de contrôle espacées de 1,5 km les unes des autres. L'hélicoptère a maintenu une altitude moyenne de 119 m au-dessus du sol.

Les données spectrométriques des rayons gamma ont été enregistrées selon un taux d'échantillonnage de 1,0 seconde dans les spectres d'un détecteur principal à 31,4 canaux et d'un détecteur de radon en utilisant un spectromètre Elextron GM200. Les volumes de NaI dans les deux détecteurs composant le système étaient les suivants: 31,4 pour le détecteur principal et 8,4 pour le détecteur de radon. Les comptages du détecteur principal ont été enregistrés dans cinq fenêtres correspondant au thorium (214D - 2610 keV), à l'uranium (235U - 2840 keV) et au rayonnement cosmique (3000 - >4000 keV). Le comptage de détecteur de radon a été enregistré dans la fenêtre du radon (1640 - 1860 keV). Le système de détection de radon a été étalonné selon les méthodes décrites dans le AGSO 1995(6). Après élimination du bruit de fond, les données ont été corrigées pour les interférences spectrales, les changements de température, de la pression et des écarts par rapport à l'altitude prévue du levé (119 m). Les données ont été converties en unités standard de concentration habituelles et leurs rapports, puis interpolées sur une grille aux mailles de 125 m. La carte ternaire a été calculée des grilles des trois éléments radioactifs.

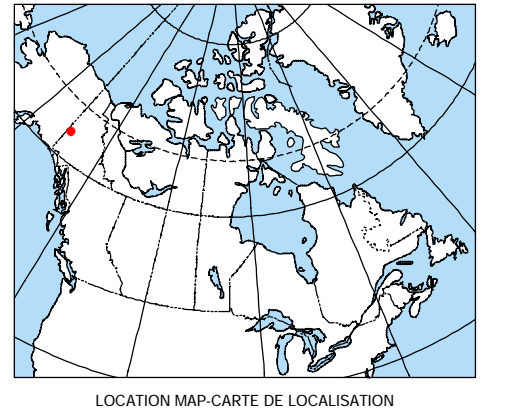
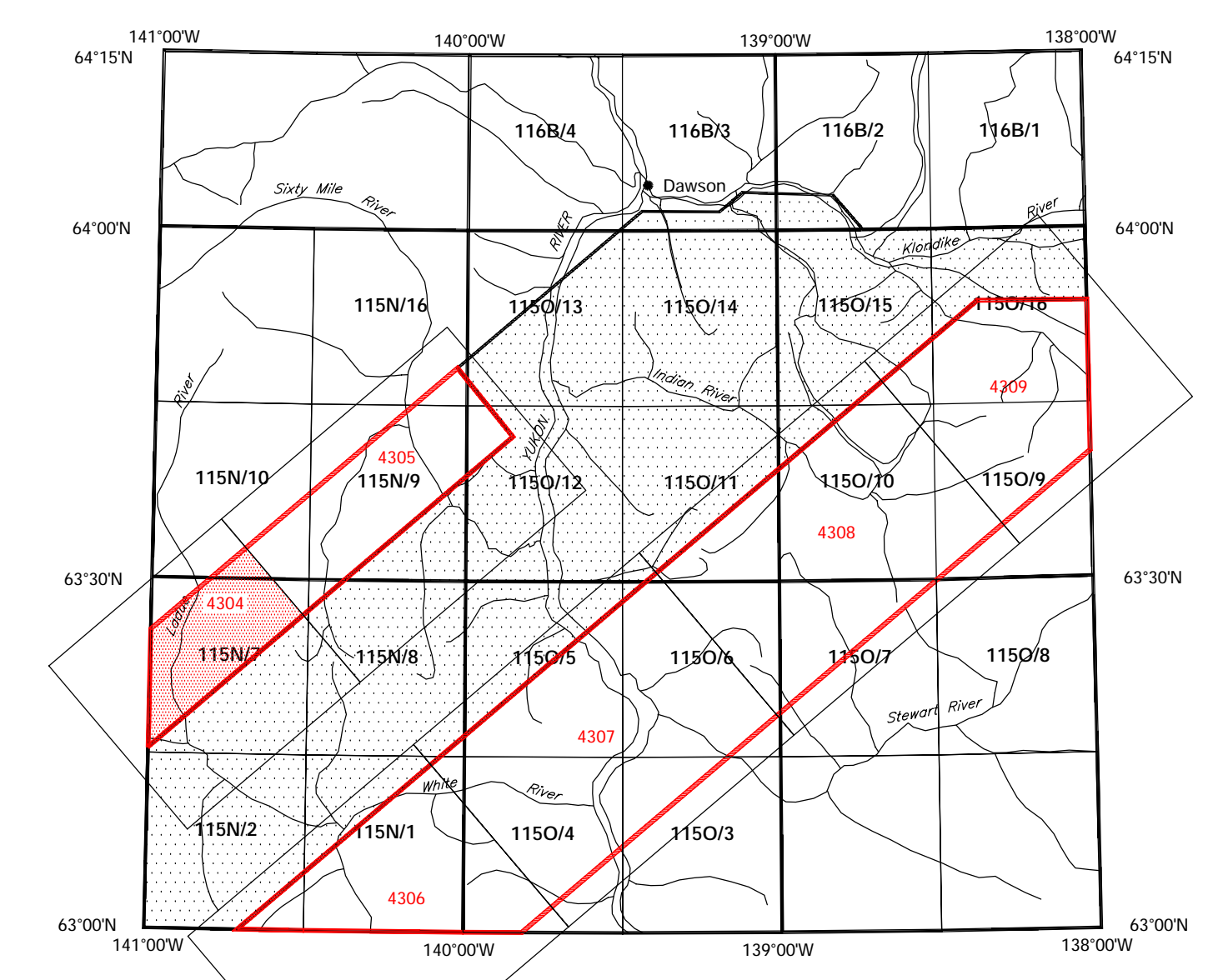
Les données aéromagnétiques ont été enregistrées à une fréquence de 0,1 seconde en utilisant un magnétomètre à vapeur de césium d'une sensibilité de 0,01 nT suspendu à 23 m sous l'hélicoptère. Les données magnétiques des lignes de contrôle et des traverses ont été corrigées pour les variations du champ géomagnétique en utilisant les données du magnétomètre au sol. Une fois les données du levé ont été vérifiées, les différences des intersections des lignes de vol et des lignes de contrôle ont été établies et leurs différences des valeurs magnétiques ont été analysées par ordinateur pour obtenir le réseau de nivellement. Les données du système de positionnement global ont été utilisées pour obtenir le champ géomagnétique international de référence calculé vers 2001, qui a été soustrait du champ géomagnétique total pour obtenir le champ magnétique résiduel. Les données du champ magnétique résiduel ont été interpolées à une grille aux mailles carrées de 125 m de côté. Finalement, la grille de la première dérivée verticale du champ magnétique a été calculée à partir du champ magnétique résiduel.

Tous les données présentés comme des cartes d'intervalles en couleurs combinées avec les fichiers de topographie numériques fournis par Geomatics Canada.



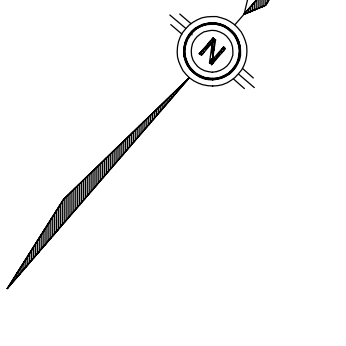
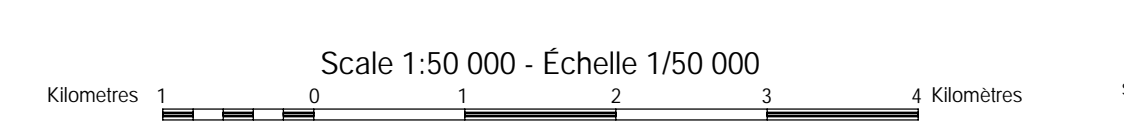
Recommended citation:  
 Stovell, S.B., Chivers, J.M., Ford, E.L., Holmes, P.B., Godfrey, S., Abbott, G., 2002.  
 Geophysical Survey of Canada File 834.  
 Exploration and Geological Services Division, Yukon, Indian and Northern Affairs Canada Open File 2002-10.  
 Stewart River Area - 115N/7.  
 Scale: 1:50 000

Notice bibliographique conseillée:  
 Stovell, S.B., Chivers, J.M., Ford, E.L., Holmes, P.B., Godfrey, S., Abbott, G., 2002.  
 Cartographie géophysique du Canada Dossier Public 834.  
 Mémoires techniques et de levé, Division des Services Géologiques et Services de Prospection Géologique Publique 2002-10.  
 Carte du Potassium.  
 Stewart River Area - 115N/7.  
 Échelle: 1:50 000



POTASSIUM MAP  
CARTE DU POTASSIUM

STEWART RIVER AREA  
YUKON TERRITORY / TERRITOIRE DU YUKON



OPEN FILE  
DOSSIER PUBLIC  
4304  
GEOLOGICAL SURVEY OF CANADA  
COMMISSION GÉOLOGIQUE DU CANADA  
2002  
2 of de 10

OPEN FILE  
DOSSIER PUBLIC  
2002-10  
EXPLORATION AND GEOLOGICAL SERVICES DIVISION  
YUKON, INDIAN AND NORTHERN AFFAIRS  
MÉMOIRES TECHNIQUES ET DE LEVÉ, DIVISION DES SERVICES GÉOLOGIQUES  
ET DE PROSPECTION GÉOLOGIQUE PUBLIQUE  
2002

POTASSIUM MAP  
CARTE DU POTASSIUM

STEWART RIVER AREA  
YUKON TERRITORY / TERRITOIRE DU YUKON

115 N/7

NATIONAL TOPOGRAPHICAL SYSTEM REFERENCE AND GEOGRAPHICAL MAP INDEX  
SYSTÈME NATIONAL DE RÉFÉRENCE CARTOGRAPHIQUE ET INDEX DES CARTES GÉOPHYSIQUES

Phase 1  
Flown 2000

Phase 2  
Flown 2001

PUBLISHED 2002 / PUBLIÉE 2002